



Exercice 1 (obligatoire) – Niveau terminale

Thème « Une histoire du vivant »

Des moustiques résistants aux insecticides

Sur 10 points

De 1968 à 2002, la population de moustiques *Culex pipiens* a été contrôlée dans le sud de la France par l'épandage d'insecticides sur les étendues d'eau dans lesquelles se développent leurs larves.

On s'intéresse à la résistance développée par certains moustiques à ces insecticides dans la région de Montpellier.

Document 1 : résistance de *Culex pipiens* aux insecticides

Des insecticides organophosphorés ont été utilisés pour lutter contre le moustique *Culex pipiens*. Certains moustiques y sont devenus résistants. L'étude du génome du moustique a montré que le moustique possédait un gène codant une molécule (enzyme), sous deux allèles :

- l'allèle R (résistance) conférant la capacité de résister aux insecticides ;
- l'allèle S (sensible).

On observe que la quantité de cette enzyme produite dépend du génotype du moustique. On constate que la quantité de celle-ci est ainsi 500 fois plus importante chez un moustique résistant que chez un moustique sensible.

Document 2 : action de l'enzyme sur un insecticide, le parathion

Le parathion est, comme tous les insecticides organophosphorés, une molécule qui altère le fonctionnement du système nerveux du moustique entraînant sa mort. Pour qu'il soit efficace, il doit pénétrer dans l'organisme de l'insecte et atteindre son système nerveux.

Chez le moustique résistant au parathion, on peut schématiser ainsi l'action de l'enzyme évoquée dans le document 1 :





En 1980, un échantillonnage a été réalisé dans une population de moustiques située à Maurin (zone 2) afin d'étudier la structure génétique de cette population.

Les résultats de cette étude sont résumés dans le tableau ci-dessous.

Génotypes concernant le gène de résistance à l'insecticide (doc. 1)	R//R	R//S	S//S	Total
Résistance à l'insecticide	oui	oui	non	
Nombre de moustiques	90	284	70	444
Fréquence génotypique observée	0,20	0,64	0,16	1

1- À partir des documents 1 et 2 et de vos connaissances, expliquer l'acquisition de la résistance au parathion de certains moustiques.

2- À partir du document 3, vérifier que la structure génétique de la population n'est pas à l'équilibre de Hardy-Weinberg. Pour ce faire, on comparera les fréquences génotypiques observées dans la population de moustique aux fréquences génotypiques que vous calculerez selon le modèle de Hardy-Weinberg.

Rappel du modèle de Hardy-Weinberg :

Soient A1 et A2 deux allèles d'un même gène, avec p la fréquence de l'allèle A1 et q la fréquence de l'allèle A2 et $p + q = 1$, les fréquences génotypiques sont :

$$p^2 = \text{fréquence du génotype A1//A1}$$

$$2pq = \text{fréquence du génotype A1//A2}$$

$$q^2 = \text{fréquence du génotype A2//A2}$$

3- Expliquer les raisons pour lesquelles la structure génétique de la population n'est pas à l'équilibre de Hardy-Weinberg.



Le microphone ① capte les sons en provenance de l'extérieur.

L'audio-processeur ② numérise les sons.

L'antenne ③ transmet les signaux numériques à l'implant situé sous la peau.

L'implant ④ envoie des signaux électriques dans les électrodes ⑤ situées dans la cochlée (comprenant les cellules sensorielles ciliées) ⑧.

Les fibres du nerf auditif captent les signaux électriques et les transmettent au cerveau.

1- Indiquer les légendes des structures numérotées 6, 9, 10, 11 et 12.

2- Certaines personnes subissent une surdité consécutive à un dommage des cellules ciliées de l'oreille interne. Elles peuvent alors être appareillées avec un implant cochléaire.

Expliquer le rôle des cellules ciliées de l'oreille interne dans le cas d'une audition normale et comment l'implant cochléaire permet de corriger la surdité.

3- Le microphone d'un implant cochléaire capte un son périodique en provenance de l'extérieur. Un motif élémentaire de période T de ce son est représenté sur le document 2 de la page suivante.

Déterminer la valeur de la fréquence f du son capté par le microphone.

4- Déterminer graphiquement la valeur de la période d'échantillonnage T_e utilisée pour cette numérisation puis justifier que la valeur de la fréquence d'échantillonnage f_e est égale à 10 000 Hz.

Modèle CCYC : ©DNE

Nom de famille (naissance) :

(Suivi s'il y a lieu, du nom d'usage)

Prénom(s) :

N° candidat :

N° d'inscription :



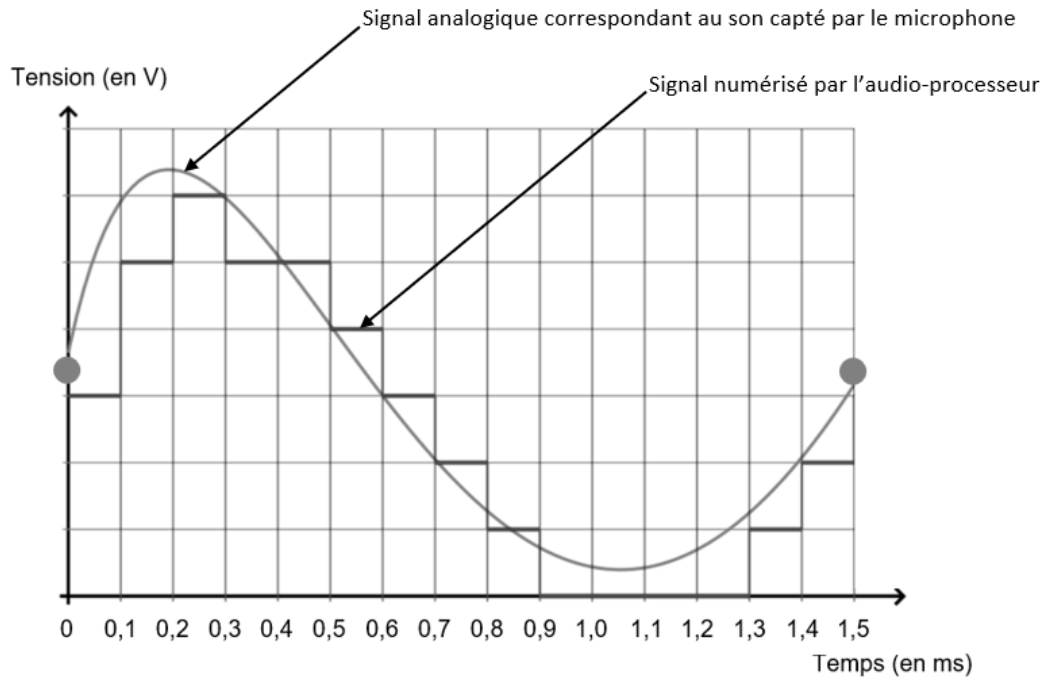
Liberté • Égalité • Fraternité
RÉPUBLIQUE FRANÇAISE

Né(e) le :

(Les numéros figurent sur la convocation.)

1.1

Document 2 – Son capté par le microphone et numérisation par l'audio-processeur



Source : http://www.ostralo.net/3_animations/js/CAN/index_v2nmoins1.htm

5-a- Sachant qu'une quantification sur n bits permet 2^n paliers numériques, indiquer, en le justifiant, pourquoi ici $n=3$.

5-b- La taille L en octet d'un fichier audio est donnée par la formule :

$$L = f_e \times \frac{n}{8} \times \Delta t$$

avec f_e la fréquence d'échantillonnage (en hertz), n la quantification (en bits) et Δt la durée (en secondes).

Pendant une journée, l'audio-processeur numérise en moyenne 10 heures de sons différents. Calculer la taille L d'un fichier audio équivalent à une journée de fonctionnement de l'implant cochléaire.



Exercice 3 (au choix) – Niveau première

Thème « Une longue histoire de la matière »

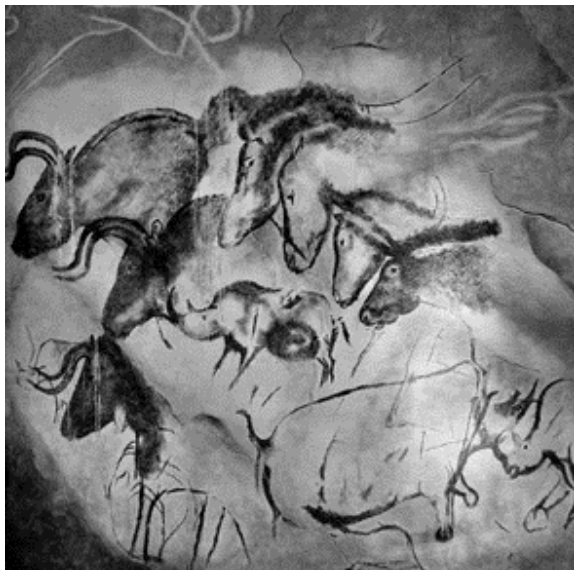
Les peintures et les gravures de la grotte Chauvet

Sur 10 points

La grotte Chauvet, découverte en décembre 1994, s'ouvre au pied d'une falaise bordant les gorges de l'Ardèche. Elle contient de nombreuses peintures et gravures mais ne semble pas avoir servi d'habitat car les outils de silex et les restes de faune apportés par les humains sont rares.

Document 1. Photographies de deux œuvres de la grotte Chauvet

1-a Peintures de chevaux, aurochs et rhinocéros



1-b Gravure du hibou moyen-duc



Source : wikipedia

On cherche à associer la peinture de chevaux, aurochs et rhinocéros (document 1-a) à l'une des phases d'occupation de la grotte. Pour cela, on utilise une méthode de datation basée sur la désintégration des noyaux radioactifs.

L'évolution du nombre de noyaux radioactifs d'une composition donnée au cours du temps suit une loi de décroissance représentée dans le document réponse à rendre avec la copie.

Modèle CCYC : ©DNE

Nom de famille (naissance) :

(Suivi s'il y a lieu, du nom d'usage)

Prénom(s) :

N° candidat : N° d'inscription :

(Les numéros figurent sur la convocation.)

Né(e) le : / /



RÉPUBLIQUE FRANÇAISE

1.1

1- Rappeler la définition de la demi-vie $t_{1/2}$ associée à cette désintégration radioactive. Sur le document réponse, faire apparaître la construction graphique permettant de repérer la valeur de la demi-vie du noyau.

La grotte a connu deux phases d'occupation, l'une à l'Aurignacien (entre 37 000 et 33 500 années avant aujourd'hui), l'autre au Gravettien (31 000 à 28 000 années avant aujourd'hui).

Il existe de nombreux noyaux radioactifs mais leur demi-vie est différente (quelques exemples sont donnés dans le document 2).

Document 2. Différents noyaux radioactifs et leur demi-vie

Noyaux radioactifs	Demi-vie (années)
Uranium 238	$4,4688 \times 10^9$
Uranium 235	$7,03 \times 10^8$
Potassium 40	$1,248 \times 10^9$
Carbone 14	$5,568 \times 10^3$
Iode 131	2×10^{-2}

2- Déterminer le noyau radioactif dont la demi-vie est la mieux adaptée pour dater l'occupation de la grotte. Justifier.

Le charbon de bois est obtenu à partir du bois, qui est un matériau d'origine végétale. La peinture des chevaux (document 1-a) a été réalisée sur les parois de la grotte avec du charbon de bois.

On rappelle que le carbone radioactif (^{14}C) est présent naturellement dans le dioxyde de carbone (CO_2) atmosphérique.

Les végétaux fixent le carbone atmosphérique au sein de leur matière organique grâce à la photosynthèse. Après leur mort ou leur prélèvement par l'être humain, ils n'échangent plus de carbone avec l'atmosphère.

3-a Compléter le document réponse représentant la désintégration de ^{14}C au sein du charbon de bois.



3-b Indiquer si, en principe, la datation pourrait être réalisée avec un échantillon comprenant initialement *un seul* noyau de ^{14}C , en admettant que l'on dispose d'appareils susceptibles de détecter la présence d'un seul noyau de ^{14}C .

4-a Sachant qu'il ne reste que 2,34 % du ^{14}C initial dans le charbon de la peinture, donner un encadrement en nombres entiers de demi-vies de la date de la mort du bois qui a servi – sous forme de charbon de bois – à réaliser la peinture.

4-b On utilise la figure 1 du document réponse dans laquelle on prend comme origine des âges l'instant correspondant à 5 demi-vies du ^{14}C , pour lequel N_0 représente 3,13 % du nombre initial de noyaux de ^{14}C présents dans le charbon de la peinture. Déterminer graphiquement en années la durée nécessaire pour que le pourcentage de ^{14}C restant dans le charbon de bois passe de 3,13 % à 2,34 %.

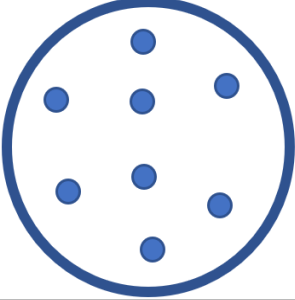
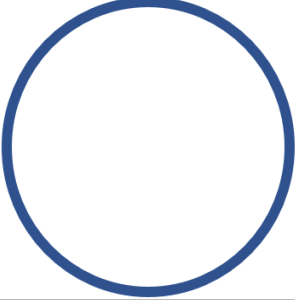
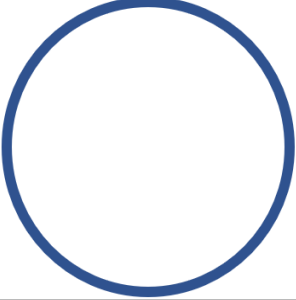
4-c Indiquer si cette peinture a été faite lors de l'occupation à l'Aurignacien ou au Gravettien. Justifier.

5- Au sein de cette grotte, on trouve également des gravures réalisées dans le calcaire (exemple de la gravure du hibou moyen-duc du document 1-b). La méthode précédente ne peut pas être utilisée pour la dater. Proposer une explication.



Question 3-a

Évolution du nombre de noyaux de ^{14}C dans le charbon de bois au cours du temps

Age	0 ans	5570 ans	11140 ans
			
Pourcentage de ^{14}C par rapport au ^{14}C initial			

Dans la première ligne du tableau, chaque point représente un très grand nombre de noyaux de ^{14}C .

Compléter cette première ligne avec les nombres de points appropriés.

Compléter la deuxième ligne en indiquant les pourcentages de ^{14}C restant par rapport à la valeur initiale au moment de la mort.